

Effet Tunnel

- * particule est entièrement décrite par fonction d'onde ψ qui lui est associée $\psi(t, \vec{x})$
- * densité de proba = proba de présence d'une particule à instant t ds vol. $d\tau$ centré en \vec{x}

$$dP(t, \vec{x}) = |\psi(t, \vec{x})|^2 d\tau$$

L'interprétation probabiliste de MQ est parfois appelée régle de Born

unidimensionnel: $dP(t, x) = |\psi(t, x)|^2 dx$

ds ce cas $[\psi] = L^{-1/2}$ car $[P] = \text{sans dim}$

↓
= unité de fonction d'onde
dépend de la dimension du problème (1D - 3D - ...)

condition normalisation: $\int |\psi(t, x)|^2 dx = 1$ car $\int P = 1$

Si on mesure qte $A(t, x)$ comme position par ex = chaque mesure sera \neq car aléatoire

= moyenne $\langle A \rangle$ de mesures: $\langle A \rangle = \int A dP = \int_{-\infty}^{\infty} \bar{\psi} A \psi dx$

indétermination ΔA de A : $\Delta A^2 = \langle A^2 \rangle - \langle A \rangle^2$

en maths c'est l'écart-type de la distrib. de proba

= à quel pt la valeur de A est éloignée de la moyenne

* indétermination \neq incertitude

↓
la l'aléatoire est fondamental \neq défaut d'observation

↗ car la l'aléatoire vient du manque de précision du syst. de mesure par ex

par fct d'onde on peut décrire la dualité

$$\Psi(t, x) = \underbrace{A}_{\text{cte}} e^{i \left(\frac{-Et + Px}{\hbar} \right)}$$

c'est une onde progressive dont les paramètres respectent

les relations de de Broglie

$$\begin{cases} E = h\nu = \hbar\omega \\ p = \frac{h}{\lambda} = \hbar k \end{cases}$$

pour cette onde, la proba de présence $dP = |A|^2 dx = \int_{-\infty}^{+\infty} |A|^2 dx = 1$

\therefore particule est trouvée partout ds l'espace avec proba cte!

une telle condition $\int_{-\infty}^{+\infty} |A|^2 dx = 1$ si $A=0$ mathématiquement

\therefore on n'a pas d'onde --

\therefore notion d'onde de ~~particule~~ totalement délocalisée ds l'espace n'est pas physique

la bonne notion = paquet d'ondes (comme pour OPPM $q = n' \lambda$)

la pas d'onde a p fixé

\therefore particule décrite par Σ ondes mat:ie sinusoïdales

paquet d'ondes \rightarrow

$$\Psi(t, x) = \int_{-\infty}^{+\infty} A(p) e^{i \left(\frac{-Et + Px}{\hbar} \right)} dp$$

\downarrow
amplitude pour chaque impulsion p

en dérivant Ψ :

$$\begin{cases} p\Psi = \frac{\hbar}{i} \frac{\partial \Psi}{\partial x} \\ E\Psi = -\frac{\hbar}{i} \frac{\partial \Psi}{\partial t} \end{cases}$$

\therefore p et E sont des opérateurs q agissent sur Ψ elle-m

$$p \leftrightarrow \frac{\hbar}{i} \frac{\partial}{\partial x} \quad E \leftrightarrow i\hbar \frac{\partial}{\partial t}$$

$$\langle E \rangle = \int_{-\infty}^{+\infty} dx \bar{\Psi} i\hbar \frac{\partial \Psi}{\partial t}$$

\therefore en quantique l' E n'a pas de valeur fixée pour 1 syst

c'est distrib. de proba d'énergie

1926 : Schrödinger \Rightarrow eq° pour prévoir l'évolut° temporelle de Ψ d'une particule dans potentiel $V(t, x)$ (de masse m)

la base du formalisme ondulatoire de MQ

$$\underbrace{i\hbar \frac{\partial}{\partial t}}_E \Psi = -\underbrace{\frac{\hbar^2}{2m} \frac{\partial^2}{\partial x^2}}_{\frac{p^2}{2m}} \Psi + V\Psi$$

Eq° Schrödinger :

1) Linéaire : si ψ_1 et ψ_2 solut° = comb. lin. $\lambda_1 \psi_1 + \lambda_2 \psi_2$ est solut°

2) ordre 1 en temps : connaître $\psi(t, x)$ à t_0 permet de trouver $\psi(t, x)$ pour tout t : eq° décrit un processus déterministe
 on justifie intégrer en t et on connaît l'évolution futur ou passée

3) réversible : si ψ solut° = $\bar{\psi}$ sol. où on renverse $t \rightarrow -t$
 renver $t \equiv \psi \rightarrow \bar{\psi}$

= décrit que processus réversible
 mais cela ne change pas le comportement physique du syst car toute grandeur fait intervenir $|\psi|^2$ = échange qd ψ devient $\bar{\psi}$

∴ eq. Schröd. = eq aux dérivées partielles = pour simplifier, cherchons $\psi(x, t)$
 sous la forme de : $\psi(x, t) = f(t) g(x)$ état stationnaire
 analogie avec les ondes

si potentiel indép. de t :

$$E f(t) g(x) = i\hbar \dot{f}(t) g(x) = -\frac{\hbar^2}{2m} f(t) g''(x) + V(x) f(t) g(x)$$

$$\Rightarrow i\hbar \frac{\dot{f}}{f} = -\frac{\hbar^2}{2m} \frac{g''}{g} + V = E$$

∴ = entre quantité dépend de t et autre d'espace : les 2 sont ctes
 = $E = \text{cte}$

partie temporelle $\rightarrow f(t) = \underbrace{A}_{\text{cte}} e^{-i \frac{Et}{\hbar}}$

∴ Etats stationn. de eq° Schröd. sont le cas d'une E_p indép. de t
 $\psi(t, x) = \psi(x) e^{-i \frac{Et}{\hbar}}$

où $E = \text{cte}$

et $\psi(x)$ vérifie eq. Schröd. indép. de t :

$$-\frac{\hbar^2}{2m} \frac{d^2 \psi}{dx^2} + V\psi = E\psi(x)$$

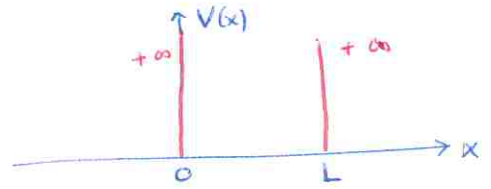
~~$\psi(t)$~~ La partie spatiale ψ de la fct d'onde d'un état stationn. est continue en tout pt x

Si potentiel $V(x)$ est fini : $\frac{d\psi}{dx}$ est aussi continue

Puits quantique ∞

si part. confinée entre $x=0$ et $x=L$

$$\begin{cases} V(x)=0 & \text{si } x \in [0, L] \\ V(x)=+\infty & \text{sinon} \end{cases}$$



on cherche à résoudre l'éq. Schröd.
indép. de t pour E donnée

- où $V=+\infty \rightarrow \psi=0$ car la particule
ne peut pas s'y trouver.

- ds domaine central: $-\frac{\hbar^2}{2m} \psi'' + 0 = E\psi$

$$\Rightarrow \psi(x) = A \cos(kx) + B \sin(kx)$$

$$k^2 = \frac{2mE}{\hbar^2}$$

- continuité en $x=0$ et $x=L \Rightarrow \psi(0) = \psi(L) = 0$

\downarrow
 $A=0$

\downarrow $B \sin(kL) = 0 \Rightarrow k_n = \frac{n\pi}{L}$ $n \in \mathbb{N}^*$
sinon $\psi=0$
pas de particule

discontinuité ψ'
car puit ∞

$$k_n = \sqrt{\frac{2mE_n}{\hbar^2}} = \frac{n\pi}{L} \Rightarrow \boxed{E_n = \frac{n^2 \pi^2 \hbar^2}{2mL^2}}$$

Energie est quantifiée

les fct d'ondes associés sont: $\psi_n(x) = B \sin\left(\frac{n\pi x}{L}\right)$

pour trouver B: $\int_0^L dx |B \sin\left(\frac{n\pi x}{L}\right)|^2 = |B|^2 \frac{L}{2} = 1 \Rightarrow B = \sqrt{\frac{2}{L}}$

$$\psi_n(x) = \sqrt{\frac{2}{L}} \sin\left(\frac{n\pi x}{L}\right)$$

limite grands nb quantiques $n \gg 1 \Rightarrow \frac{E_{n+1} - E_n}{E_n} \sim \frac{2}{n}$

\Rightarrow écart relatif entre 2 niveaux tend vers 0

$\frac{k_n}{k_{n+1} - k_n} = n \gg 1$ soit $k_n \gg \frac{\pi}{L}$ par $k_n = \frac{2\pi}{\lambda_n}$
 λ_{DB} à état n

$$\Rightarrow \lambda_n \ll \frac{L}{2} = \lambda_n \ll L$$

Ds limite \nearrow nb quant: on a un continuum de niveaux d'E et λ très
petite devant taille du puits \rightarrow on très proche de l'atome

\Rightarrow la particule se comporte comme particule classique
 $=$ principe de correspondance de Bohr

Notons $\mathcal{L} : \left[\underbrace{\frac{-\hbar^2}{2m} \Delta \Psi(t, \vec{x})}_{\text{3D}} + \underbrace{V(\vec{x}) \Psi(t, \vec{x})}_{\text{en remplaçant } \Psi(\vec{x}) \text{ par } \Psi(\vec{x}) e^{-i \frac{Et}{\hbar}}} = i \hbar \frac{\partial}{\partial t} \Psi(t, \vec{x}) \right]$

en calculant : $\bar{\Psi} \mathcal{L} - \Psi \bar{\mathcal{L}} \Rightarrow \frac{-\hbar^2}{2m} (\bar{\Psi} \Delta \Psi - \Psi \Delta \bar{\Psi}) + V(\bar{\Psi} \Psi - \Psi \bar{\Psi})$
 $= i \hbar \left(\bar{\Psi} \frac{\partial \Psi}{\partial t} + \Psi \frac{\partial \bar{\Psi}}{\partial t} \right)$
 $\Rightarrow \frac{\partial |\Psi|^2}{\partial t} - \frac{i \hbar}{2m} (\bar{\Psi} \Delta \Psi - \Psi \Delta \bar{\Psi}) = 0$
 $= \frac{\partial |\Psi|^2}{\partial t}$

par $\bar{\Psi} \Delta \Psi = \bar{\Psi} \nabla \cdot (\nabla \Psi)$ (div grad)
 $\Rightarrow (---) = \text{div} (\bar{\Psi} \text{grad } \Psi - \Psi \text{grad } \bar{\Psi})$

$f \nabla \cdot \vec{A} = \nabla (f \vec{A}) - \vec{\nabla} f \cdot \vec{A}$
 $+ \vec{\nabla} \bar{\Psi} \cdot \vec{\nabla} \Psi = \vec{\nabla} \bar{\Psi} \cdot \vec{\nabla} \Psi = \text{se simplifient}$

eq. conserv.
densité proba \Rightarrow

$\frac{\partial |\Psi|^2}{\partial t} + \text{div} \left(\frac{\hbar}{2im} (\bar{\Psi} \vec{\nabla} \Psi - \Psi \vec{\nabla} \bar{\Psi}) \right) = 0$

courant de densité
de proba \vec{j}

$\frac{\hbar}{2im} 2i \text{Im}(\bar{\Psi} \vec{\nabla} \Psi) = \frac{\hbar}{m} \text{Im}(\bar{\Psi} \vec{\nabla} \Psi)$

pour onde de de Broglie $(e^{i(-Et + \vec{p} \cdot \vec{x})/\hbar}) \rightarrow \vec{j} = \frac{\hbar}{m} \text{Im} \left(\frac{i \vec{p}}{\hbar} |\Psi|^2 \right)$

$\vec{j} = |\Psi|^2 \frac{\vec{p}}{m} = \rho \vec{v}$ avec $\rho = |\Psi|^2$

les 2 sont reliés par TF

Inégalité de Heisenberg

$\Delta x \Delta p \geq \frac{\hbar}{2}$

indéterminations de position
et impulsion

→ principe d'indétermination
de Heisenberg (spatial)

$\Delta x_i \Delta p_i \geq \frac{\hbar}{2}$
 $\Delta x_i \Delta p_j \geq 0$ si $i \neq j$ axes \neq

d'où le cas pour onde plane

d'impulsion fixe $p = \Delta p = 0$ on avait onde de tout l'espace (\therefore indéterminée spatiale et $\Delta x = +\infty$)

$\Delta x \Delta p_x \geq \frac{\hbar}{2}$ et $\Delta y \Delta p_y \geq 0$

Si on considère paquet d'onde d'extension temporelle τ

$$\Rightarrow \text{sa TF possède écart-type en fréq. } \Delta\omega : \tau \Delta\omega \geq \frac{1}{2}$$

par De Broglie : **Principe de Heisenberg temporel** $\tau \Delta E \geq \frac{\hbar}{2}$

état stationn. a densité proba indép de t $\Rightarrow \tau = +\infty \Rightarrow \Delta E = 0$

\Rightarrow les états stationn. sont les seuls états à avoir E parfaitement définie

\therefore éq. Schröd. est difficile à résoudre \therefore on utilise la prop. suivante :

Toute solutⁿ $\Psi(t, x)$ de éq^e Schröd. peut se décomposer en $\sum \infty$ d'états d'E fixée appelés états stationn. à condition que

le potentiel soit indép. du temps

Ces états $\phi(x)$ vérifient l'éq. Schröd. indép. du temps : $-\frac{\hbar^2}{2m} \frac{d^2\phi}{dx^2} + V(x)\phi = E\phi$

Pour un spectre d'énergie discret $\{E_n\}_{n \in \mathbb{N}}$ on résout cette éq^e pour chaque E_n et obtenir ensemble d'état stationn $\{\phi_n\}_{n \in \mathbb{N}}$

$$\Rightarrow \text{par Comb. lin. de ces états on a } \Psi \Rightarrow \Psi(t, x) = \sum_n \underbrace{c_n \phi_n(x)}_{\text{cte complexe}} e^{-i \frac{E_n t}{\hbar}}$$

Si E est continu sur une certaine gamme (on le note $E(a)$ avec a paramètre continu)

$$\therefore \Psi(t, x) = \sum_n c_n \phi_n(x) e^{-i \frac{E_n t}{\hbar}} + \int \underbrace{c(a) \phi_a(x)}_{\text{fct complexe}} e^{-i \frac{E(a) t}{\hbar}} da$$

analogue avec corde vibrante

= \sum modes propres de ω_n fixées

la seule \neq est qu'en l'état, E est tjrs bien définie m[^]s hors mode propre

alors que l^{ors} E est définie juste en états stationn.

hors ces états : mesure de E donne valeur E_n avec proba $|c_n|^2$

Une des prédictions les + remarquables de la physique Quantique est la capacité pour 1 particule de traverser une barrière d'Ep > à son énergie mécanique ce qui est interdit par méca classique.

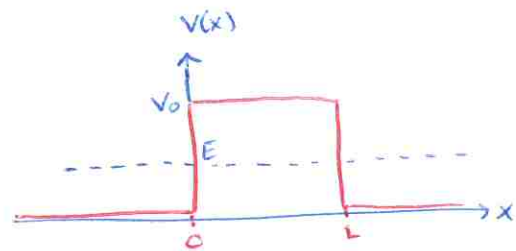
Cet effet est **Effet tunnel**

il est possible par la nature ondulatoire de la fct d'onde

Etude d'une barrière de potentiel

• $V=0$ $x < 0$
 $x > L$

• $V=V_0$ $0 < x < L$



barrière de long. L et hauteur V_0

et part. a énergie $E < V_0$ et arrive depuis $x = -\infty$
 incidente

on modélise part. par paquet d'onde $\hat{=}$ onde stationn

$\hat{=}$ le problème est linéaire $\hat{=}$ on se contente d'étudier

le cas où l'onde incidente est un état station. d'énergie E

$\hat{=}$ on étudie chaque E séparément
 p- on $\hat{=}$ can Schröd est linéaire

eq Schröd indep de t pour et état station: $\frac{d^2\psi}{dx^2} + \frac{2m}{\hbar^2} [E - V(x)] \psi = 0$

on pose: $K = \sqrt{\frac{2m(V_0 - E)}{\hbar^2}}$ et $k = \sqrt{\frac{2mE}{\hbar^2}}$

$[H] = [K] = m$

Zone 1: $x < 0$: $V=0 \Rightarrow \frac{d^2\psi}{dx^2} + \frac{2mE}{\hbar^2} \psi = 0 \Rightarrow \psi(x) = \underbrace{A_1 e^{ikx}}_{\text{onde incidente}} + \underbrace{B_1 e^{-ikx}}_{\text{refléchie}}$

Zone 2: $0 < x < L$: $V=V_0 \Rightarrow \frac{d^2\psi}{dx^2} - \frac{2m(V_0 - E)}{\hbar^2} \psi = 0 \Rightarrow \psi(x) = \underbrace{A_2 e^{Kx} + B_2 e^{-Kx}}_{\text{pas des ondes oscillantes mais expo (croiss/décroiss)}}$

Zone 3: m que 1: $\psi(x) = A_3 e^{ikx} + B_3 e^{-ikx}$

"0" can pas d'onde (de source) qui vient de $+\infty$

$$\text{continuité de } \psi \begin{cases} x=0 & : A_1 + B_1 = A_2 + B_2 \\ x=L & : A_2 e^{KL} + B_2 e^{-KL} = A_3 e^{iKL} \end{cases}$$

\Rightarrow potentiel fini \Rightarrow discontinuité du potentiel fait la continuité de $\frac{d\psi}{dx}$

$$\text{continuité de } \psi' \begin{cases} x=0 & : i k A_1 - i k B_1 = K A_2 - K B_2 \\ x=L & : K A_2 e^{KL} - K B_2 e^{-KL} = i k A_3 e^{iKL} \end{cases}$$

$$\text{par } z = \frac{k}{iK}$$

$$A_1 = \frac{1}{2} [A_2 (1+z) + B_2 (1-z)]$$

$$B_1 = \frac{1}{2} [A_2 (1-z) + B_2 (1+z)]$$

$$\begin{pmatrix} A_2 = A_3 \exp((i k - K)L) \frac{1+z}{2z} \\ B_2 = A_3 \exp((i k + K)L) \frac{-1+z}{2z} \end{pmatrix}$$

$$\Rightarrow A_1 = -A_3 e^{iKL} \frac{e^{KL}(z-1)^2 - e^{-KL}(z+1)^2}{4z}$$

$$B_1 = A_3 e^{iKL} \frac{(e^{KL} - e^{-KL})(z^2 - 1)}{4z}$$

$$\text{par } e^{\pm iKL} = \cosh(KL) \pm i \sinh(KL)$$

$$A_1 = A_3 e^{iKL} \left(\cosh(KL) - \sinh(KL) \frac{z^2 + 1}{2z} \right)$$

$$B_1 = A_3 e^{iKL} \sinh(KL) \frac{z^2 - 1}{2z}$$

$$\Rightarrow \begin{pmatrix} A_1 = A_3 e^{iKL} \left(\cosh(KL) - i \sinh(KL) \frac{k^2 - K^2}{2kK} \right) \\ B_1 = -i A_3 e^{iKL} \sinh(KL) \frac{k^2 + K^2}{2kK} \end{pmatrix}$$

on trouve tout en fait d'une côté A_3 car plus simple

ou si ~~celui qui~~ qui a + de sens physique est A_1 car c'est l'amplitude de l'onde incidente

- $x < 0$ tout se passe comme si on avait 2 ondes qui se propagent tous les 2 avec le vect. d'onde k à directions opposées
 - onde incid.
 - onde réfléchi.

- $x \geq L$ une onde transmise se propageant avec vect. d'onde k

- sous la barrière la proba est non-nulle de franchir la barrière!

définir Coef. réflexion et transmission en "probabilité" comme

les rapports des carrés de proba associés à chaque onde

$$R = \frac{|B_1|^2}{|A_1|^2}$$

$$T = \frac{|A_3|^2}{|A_1|^2}$$

ne pas parler de ça si je présente pas le calcul de courant

$$\therefore R = \frac{\sinh^2(KL) (k^2 + K^2)^2}{4k^2 K^2 \cosh^2(KL) + (k^2 - K^2)^2 \sinh^2(KL)}$$

$$T = \frac{4k^2 K^2}{4k^2 K^2 \cosh^2(KL) + (k^2 - K^2)^2 \sinh^2(KL)}$$

par $\cosh^2(KL) - \sinh^2(KL) = 1$

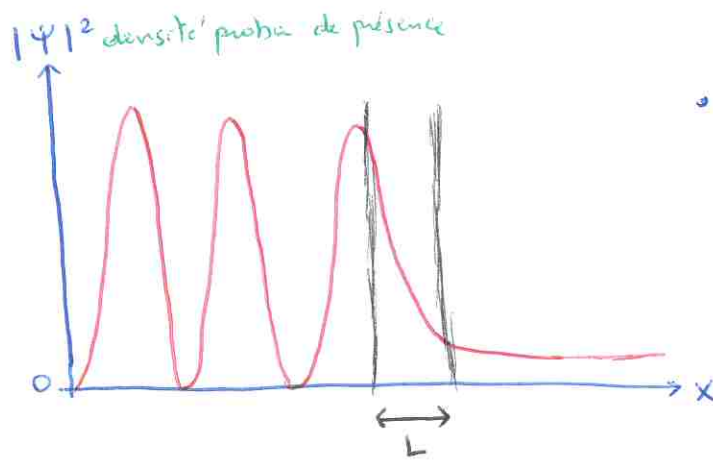
on enlève les \cosh^2 des dénom.

$$\left[\begin{array}{l} R = \frac{\sinh^2(KL) (k^2 + K^2)^2}{4k^2 K^2 + (k^2 + K^2)^2 \sinh^2(KL)} \\ T = \frac{4k^2 K^2}{4k^2 K^2 + (k^2 + K^2)^2 \sinh^2(KL)} \end{array} \right]$$

$$R + T = 1$$

\therefore particule incid. est soit réfléchi soit transmise

- $RL = h$
- $KL = 9,05$
- $\Rightarrow T = 0,2$



- proba non nulle à droite de la barrière
= part. à la possibilité de traverser la barrière
- en amont de la barrière : il y a interférence entre onde incid et réfléchi et la part. peut exister en amont aussi

ici on a modélisé qu'il y a une onde monochromatique mais une description rigoureuse = paquet d'ondes

Si $E > V_0$ $\Rightarrow K' = \sqrt{\frac{2m(E-V_0)}{\hbar^2}}$ et on remplace K par iK'

par $\cosh(ix) = \cos(x)$
 $\sinh(ix) = i\sin(x)$ \Rightarrow on aura des résonances de diffusion



Où transmission est max ($T=1$)
 $\Rightarrow R=0$ pas d'onde réfléchi

Grâce à des interférences constructives internes



Toute l'onde passe à travers la barrière

c'est comme une cavité résonnante qui laisse passer une onde uniquement à certaines fréq.

ou comme lumière qui traverse une couche mince (à certaines λ , pas de réflexion et 100% transmission \rightarrow résonance optique)

Voir Animations

Réécrivons T en faisant apparaître V_0 et E :

$$T = \frac{1}{1 + \frac{V_0^2}{4E(V_0 - E)} \sin^2(KL)}$$

si $KL \gg 1 \Rightarrow$ approx. de barrière épaisse $\rightarrow \sin K \approx \frac{1}{2} e^\alpha$
 c'est l'atténuation de l'onde de la barrière

$$\approx T \approx \frac{16E(V_0 - E)}{V_0^2} e^{-2KL}$$

largueur barrière
 dépend hauteur barrière

(+) barrière est épaisse ou haute

(-) la particule a de la chance de traverser

* doubler L = multiplier l'atténuation par e^{-2KL}
 et effet tunnel est quasi nul ..

Démonstration DL :

$$\sin K(KL) = \frac{e^{KL} - e^{-KL}}{2}$$

$$\sin^2(KL) = \left(\frac{e^{KL} - e^{-KL}}{2} \right)^2 = \frac{1}{4} (e^{2KL} - 2 + e^{-2KL})$$

$2e^{+KL}e^{-KL}$

à $KL \gg 1 \Rightarrow e^{+KL} \gg e^{-KL} \Rightarrow \sin^2(KL) \approx \frac{1}{4} e^{2KL}$

$$\approx T \approx \frac{1}{1 + \frac{V_0^2}{16E(V_0 - E)} e^{2KL}}$$

et $\approx e^{-2KL} \gg 1$
 \Rightarrow on néglige le 1 du dénominateur

~~Alors~~ Dans la zone $V(x) = V_0 > E$, la fct d'onde décroît exponentiellement

par $A_2 - B_2$ ✓
 $\psi(x) \sim e^{-Kx} \rightarrow e^{-\frac{x}{\delta}} \Rightarrow$ dist. caract. de pénétration

effet tunnel mieux pour part. les + légères

$$\delta = \frac{1}{K} = \frac{\hbar}{\sqrt{2m(V_0 - E)}}$$

+ δ est \searrow + la barrière est opaque
 + δ est \nearrow + effet tunnel est probable
 δ dépend de $\propto \frac{m}{V_0 - E}$

06 calculons T pour \neq situations

à échelle atomique : longueur $\sim 0,1 \text{ nm} \Rightarrow L = 0,3 \text{ nm}$
énergie $\sim 1 \text{ eV} \Rightarrow V_0 = 2E = 4 \text{ eV}$

pour e^- incident $\rightarrow T = 5 \times 10^{-2}$

\rightarrow application =
microscope à
effet tunnel

si $V_0 = 2E = 40 \text{ eV} \rightarrow T = 4 \times 10^{-6}$

pour proton incident $\rightarrow T = 5 \times 10^{-81}$ si $V_0 = 2E = 4 \text{ eV}$

\downarrow
phénomène observable =
radioactivité α

homme ($m = 70 \text{ kg}$)
($v = 1 \text{ m/s}$)

\rightarrow barrière
 $L = 10 \text{ cm}$
 ~~$V_0 = E = 2 \text{ m}$~~

$$T = 10^{-4 \times 10^{35}}$$

Totalement impossible

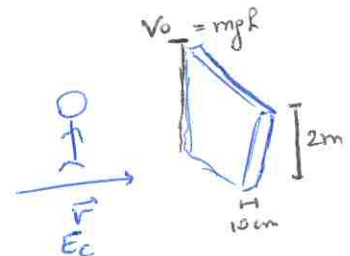
\therefore effet tunnel est un effet quantique

prenons que $E_{\text{gravitationnelle}}$

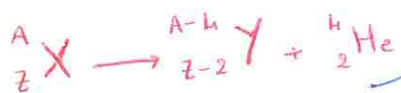
$$\therefore V_0 = mgh = 1,4 \text{ kJ}$$

$$E = E_c = 35 \text{ J}$$

$$\therefore K = 4,1 \times 10^{36} \text{ m}$$



Radioactivité α = processus par lequel noyau X émet
noyau hélium et devient noyau Y



particule α
son énergie E varie selon
le noyau père ${}^A_Z X$

elle est accessible
expérimentalement

1911 Geiger et Nuttall \rightarrow loi phénoménologique
qui relie E à demi-vie $T_{1/2}$ du noyau père

$$\ln(T_{1/2}) = a + b \frac{Z_{\text{fils}}}{\sqrt{E}}$$

on population
est divisé par 2

cste
peuvent varier
un peu selon Z fils

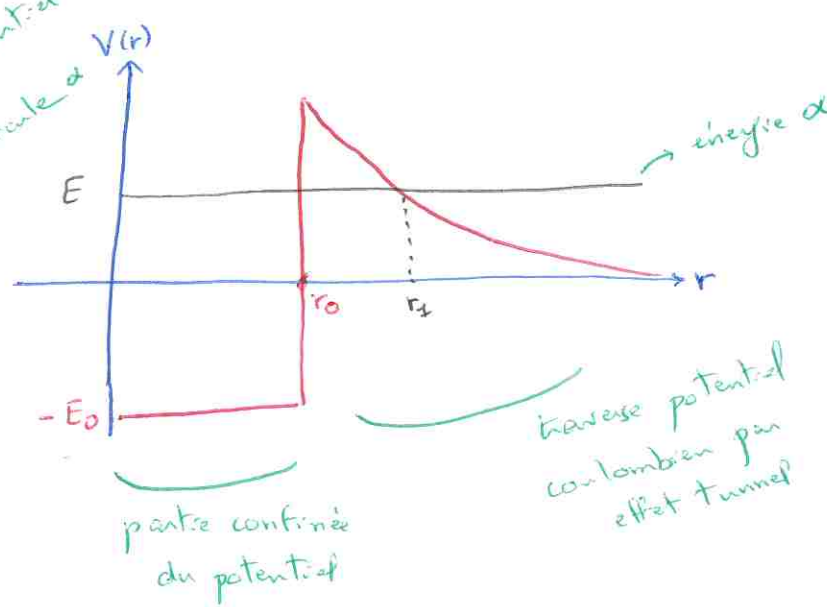
E_c totale (fils + α)
après désintégration
(car avant, père n'a
pas d' E_c car on est
ds réf. centre de
masse)

1928 Gamow l'a courbé \uparrow par TQ

mécanisme supposons particule α est formée ds noyau par procédés complexes.
Tant qu'elle est ds noyau \therefore subit interaction forte qui la confine.
Quand elle s'éloigne, interact° forte disparaît (car est à courte portée)
et α ressent le potentiel coulombien répulsif (à portée ∞)
généré par les protons du noyau

mais en réalité
il y a effet
d'écartement

modélisation
du potentiel vu
par la particule α



plus proba de
transition \nearrow
plus noyau père
émet et a
donc une $\frac{1}{2}$ vie faible

Nb α émis / t ? proba de traverser la barrière par unité t = $\frac{1}{\tau}$ → temps de vie moyen d'un noyau avant désintégration
 si on a N part. = nb part. α moyen émis en dt = $\frac{N dt}{\tau}$
 $\Rightarrow dN = -\frac{N dt}{\tau} \Rightarrow N(t) = N(0) e^{-\frac{t}{\tau}}$
 La $\frac{1}{2}$ vie est reliée par τ par : $t_{1/2} = \tau \ln(2)$
 $N(t) = \frac{N(0)}{2} \Rightarrow \frac{1}{2} = e^{-\frac{t_{1/2}}{\tau}} \Rightarrow \ln 2 = \frac{t_{1/2}}{\tau}$
 = $\frac{1}{2}$ des noyaux se désintègrent en 1 sec

A chaque rebond contre la barrière de potentiel (barrière nucléaire) une particule α a une proba T_α de s'échapper par effet tunnel.

Par raisonnement semi-classique, α rebondit à une fréq. $f = \frac{1}{\Delta t}$
 avec Δt temps moyen entre 2 chocs sur la paroi intérieure du noyau
 \equiv un aller-retour dans le puits nucléaire (passer d'un bout à l'autre du noyau)

et : à chaque choc, proba = $T_\alpha \Rightarrow$ proba par unité de temps de sortir $\Rightarrow \frac{1}{\tau} = \frac{T_\alpha}{\Delta t}$

pour part. non-relativiste : $\Delta t = \frac{2r_0}{v}$
 diamètre noyau

Taux de désintégration (cte radioactive)

$$\Delta t = \frac{2r_0}{\sqrt{\frac{2E}{m}}} \Rightarrow$$

$$t_{1/2} = \frac{\sqrt{2m} r_0}{T_\alpha \sqrt{E}}$$

- plus E est grande $\rightarrow \alpha$ rebondit + souvent $\rightarrow \Delta t$ diminue $\rightarrow \frac{1}{2}$ vie courte
- plus proba tunnel $T_\alpha \uparrow \rightarrow$ + chance de sortir \rightarrow désintégration rapide
- si barrière + haute ou + large $\rightarrow T_\alpha$ diminue $\rightarrow t_{1/2}$ augmente

on laisse tomber le $\ln 2$ par approx

car là on s'intéresse à des OG pas de valeur précise

Le vrai calcul de $t_{1/2}$ par T_α de la barrière coulombienne

en prenant : $r < r_0$ $V(r) = -E_0$
 $r > r_0$ $V(r) = \frac{K}{r}$ coulombien $(K = \frac{e^2 Z_\alpha Z_{fils}}{4\pi \epsilon_0})$

ici le potentiel n'est pas uniforme

\Rightarrow on la divise par une succession de barrières d'épaisseur dr
 et hauteur = cste (mais \rightarrow de barrière à une autre)

suffisamment petite pour
 avoir hauteur cste
 mais suffisamment grande
 pour faire approx
 barrière épaisse

chacune a $T(r) = \frac{16 E (V(r) - E)}{V(r)^2} e^{-2K(r)dr}$

$\therefore \ln(T) = -2Kdr + \ln\left(\frac{16 E (V-E)}{V^2}\right)$

$\underbrace{\frac{\sqrt{2m(V-E)}}{\hbar^2}}_{m_\alpha} \Rightarrow$

$\therefore \ln T(r) \approx -2Kdr$

$\ln T_\alpha = \sum \ln(T(r))$

\downarrow
 total = produit des $T(r)$

$\therefore \sum \ln(T(r))$

$\ln T_\alpha \approx -2 \sum K dr$

$= -2 \int_{r_0}^{r_s} K dr$
 \rightarrow pt de sortie de la barrière
 \rightarrow dépend de $V(r) \Rightarrow$ de r

$\Rightarrow T_\alpha = e^{-2 \int_{r_0}^{r_s} K dr}$ \rightarrow le problème ici est que dr n'est pas infinitésimal

on continue et on trouve

$T_\alpha = f(E) \exp\left(\frac{4\sqrt{2m} \hbar r_0}{\hbar^2}\right) \exp\left(-\pi \frac{\sqrt{2m} e^2 Z_\alpha}{4\epsilon_0 \hbar} \frac{Z_{fils}}{\sqrt{E}}\right)$

$f(E)$ quelconque
 dont formule est proche de eq° $T(r)$

$\Rightarrow t_{1/2} = \frac{\sqrt{2m} r_0}{\sqrt{E} f(E)} \exp\left(-\frac{4\sqrt{2m} \hbar r_0}{\hbar^2}\right) \exp\left(\pi \frac{\sqrt{2m} e^2 Z_\alpha}{4\epsilon_0 \hbar} \frac{Z_{fils}}{\sqrt{E}}\right)$

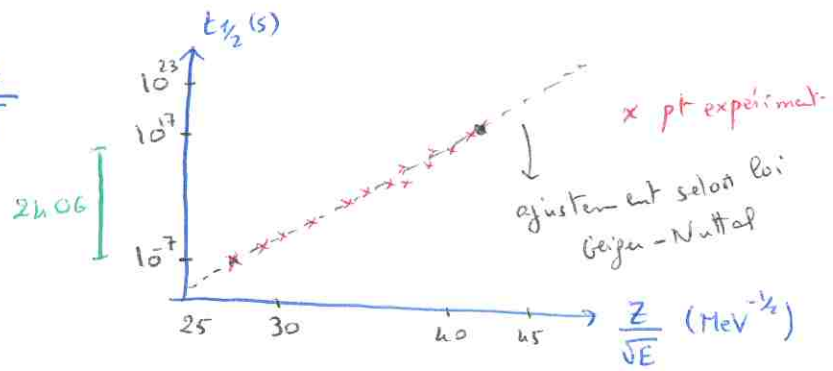
\therefore en Pop: $\ln(t_{1/2}) = a + \frac{bZ}{\sqrt{E}}$

on retrouve
 Geiger-Nuttall

on trace $t_{1/2}$ en fct de $\frac{Z}{\sqrt{E}}$

on trouve $b = (4,0 \pm 0,1) \text{ MeV}^{1/2}$

$$b_{\text{theo}} = 3,3 \text{ MeV}^{1/2}$$



faut améliorer la modélisation car la est un modèle simple

formule Viola - Seaborg en 1966 qui prend en compte la dépendance de a et b en la charge du noyau émetteur

et prend en compte les couches du noyau atomique